

ارزیابی مزرعه‌ای و آنالیز حساسیت مدل SIRMOD در آبیاری شیاری

محمدعلی غلامی سفیدکوهی^{۱*}، علی کولائیان^۲

تاریخ دریافت: ۱۳۹۲/۱۰/۱۴ تاریخ پذیرش: ۱۳۹۳/۶/۵

چکیده

امروزه استفاده از مدل‌های هیدرولیکی به منظور طراحی و ارزیابی آبیاری سطحی، دارای جایگاه ویژه می‌باشد. در این تحقیق مدل‌های هیدرودینامیک کامل (HD)، اینرسی صفر (ZI) و موج سینماتیک (KW) موجود در بسته نرم‌افزار SIRMOD مورد ارزیابی و تحلیل حساسیت قرار گرفت. بدین منظور، از سه سری داده مزرعه‌ای با بافت سیک، متوسط و سنگین استفاده شد. نتایج نشان می‌دهد که تمامی مدل‌ها زمان پیشروی را با دقیق مناسب پیش‌بینی می‌نمایند ولی مرحله پیشروی با دقت کمتری نسبت به مرحله پیشروی پیش‌بینی می‌شود. همچنین مدل هیدرودینامیک کامل، زمان‌های پیشروی و پسروی را با دقت بیشتری شبیه‌سازی می‌کند. یافته‌ها نشان داد که دقت پیش‌بینی میزان نفوذ تجمیعی توسط مدل‌ها، تابع بافت خاک می‌باشد به طوری که کمترین میانگین خطای مطلق متعلق به خاک با بافت متوسط می‌باشد. تحلیل حساسیت مدل‌های هیدرولیکی نشان داد که پارامترهای مانند دبی جریان، زمان قطع جریان و ضرایب معادله نفوذ تأثیر زیادی بر راندمان نیاز آبی، ضریب یکنواختی توزیع و نسبت رواناب پایاب دارد.

واژه‌های کلیدی: آبیاری سطحی، تحلیل حساسیت، مدل‌های هیدرولیکی

مقدمه

پیچیده بودن حل تحلیلی این مدل‌ها، امروزه نرم‌افزارهای متعددی به بازار عرضه شد تا حل عددی این مدل‌های ریاضی را انجام دهند. از جمله این مدل‌ها می‌توان به SURDEV, WinsRFR و SIRMOD اشاره نمود (Koech et al, 2010). بسته نرم‌افزاری SIRMOD یکی از ابزارهای مورد استفاده برای شبیه‌سازی آبیاری سطحی که کاربرد زیادی در طراحی و مدیریت بهینه آبیاری سطحی دارد (Walker, 1998, 2003; Walker and Skogerboe, 1987).

روابط حاکم بر هیدرولیک آبیاری سطحی

جریان آب در آبیاری سطحی، جریان متغیر مکانی ناپایدار است که به سرعت نفوذ آب در خاک بستگی دارد. معادلات مربوط به این جریان به معادلات سنت-وانانت مشهور است که یک جفت معادله دیفرانسیل جزئی بوده که به شکل کامل، فاقد حل تحلیلی است و عموماً با روش‌های عددی حل می‌شوند (عباسی و همکاران، ۱۳۷۸).

این معادلات پس از تعديل، به صورت زیر ارائه شد:

$$\frac{A \partial v}{\partial x} + \frac{Bv \partial y}{\partial x} + \frac{B \partial y}{\partial t} + I = 0 \quad (1)$$

$$\frac{1}{g} \frac{\partial v}{\partial t} + \frac{v}{g} \frac{\partial v}{\partial x} + \frac{\partial y}{\partial x} = S_0 - S_f + \frac{DvI}{2gA} \quad (2)$$

و: عمق آب، t : زمان از آغاز آبیاری، v : سرعت جریان آب (تابعی از x و t)، x : فاصله از ابتدای شیار، I : شدت نفوذ آب به

آبیاری سطحی یکی از متدائل‌ترین روش‌های آبیاری در ایران و جهان می‌باشد. علیرغم پیشرفت‌های قابل ملاحظه در چند دهه اخیر در علم و فن آوری و روی کار آمدن شبیه‌های نوین آبیاری، با این حال هنوز در بسیاری از کشورهای جهان حتی کشورهای پیشرفته، آبیاری سطحی به عنوان یک از رایج‌ترین روش‌های آبیاری بوده و محققین زیادی برای توسعه آن قدم برداشته و در حال توسعه و بهبود این روش می‌باشند (Strelkoff and Katopodes, 1977).

روش آبیاری به طور دقیق طراحی و اجرا شود، یکی از بهترین روش‌ها محسوب می‌شود ولی چنانچه به خوبی اجرا نشود موجب تلفات آب، عدم یکنواختی توزیع آب، شور شدن و آلودگی آبهای سطحی و منابع زیرزمینی می‌شود (Esfandiari and Maheshwari, 2001).

از آنجایی که آب کالایی با ارزش محسوب شده، لذا باید طراحی سیستم آبیاری به نوعی انجام گردد که حتی الامکان از هدر رفتن آب جلوگیری شود. از این رو مدل‌های هیدرولیکی آبیاری سطحی برای طراحی و ارزیابی سامانه‌های آبیاری دارای اهمیت می‌باشند. به دلیل

۱- استادیار گروه مهندسی آب، دانشگاه علوم کشاورزی و منابع طبیعی ساری
۲- دانش آموخته کارشناسی ارشد آبیاری و زهکشی، دانشگاه علوم کشاورزی و منابع طبیعی ساری
* - نویسنده مسئول: (Email: ma.gholami@sanru.ac.ir)

$$S_0 = S_f \quad (5)$$

تاکنون تحقیقات مختلفی در زمینه استفاده از مدل‌های هیدرولیکی در ارتباط با مسائل آبیاری سطحی انجام شد. (Esfandiari and Maheshwari, 2001) قانون دوم نیوتن مشتق شده باشد مقدار آن برابر با یک و در صورتی که از قانون بقای انرژی مشتق شده باشد مقدار آن $0/5$ در نظر گرفته می‌شود (محمودیان، ۱۳۷۹). در مدل SIRMOD حجم آب نفوذ یافته در آبیاری شیاری توسط معادلات نفوذ کوستیاکف و کوستیاکف-لوئیس برآورد می‌گردد که در تحقیق حاضر مبنای برآورد نفوذ، معادله کوستیاکف-لوئیس قرار گرفت که برای اکثر خاک‌ها مناسب می‌باشد (Maheshwari and McMahon, 1993).

داخل خاک (تابعی از x و t)، g : شتاب ثقلی، S_0 : شیب طولی شیار، S_f : شیب خط انرژی، A : سطح مقطع جریان، B : عرض بالایی جریان آب و D : ثابت عددی است که اگر معادله مومنت از قانون دوم نیوتن مشتق شده باشد مقدار آن برابر با یک و در صورتی که از قانون بقای انرژی مشتق شده باشد مقدار آن $0/5$ در نظر گرفته می‌شود (محمودیان، ۱۳۷۹). در مدل SIRMOD حجم آب نفوذ یافته در آبیاری شیاری توسط معادلات نفوذ کوستیاکف و کوستیاکف-لوئیس برآورد می‌گردد که در تحقیق حاضر مبنای برآورد نفوذ، معادله کوستیاکف-لوئیس قرار گرفت که برای اکثر خاک‌ها مناسب می‌باشد (Maheshwari and McMahon, 1993).

$$Z = kt^a + f_o t \quad (3)$$

که در آن Z : نفوذ تجمعی ($m^3 \cdot m^{-1}$), f_o : سرعت نفوذ نهایی ($m^3 \cdot m^{-1} \cdot min^{-1}$), t : زمان (min) و k : پارامترهای تجربی معادله نفوذ کوستیاکف-لوئیس می‌باشند.

مدل هیدرودینامیک کامل (HD)

در این مدل، حل عددی معادلات سنت-وانانت انجام می‌شود. این مدل در مقایسه با دیگر مدل‌های هیدرولیکی از دقت بالاتری برخوردار بوده و به همین علت، اغلب از این مدل برای کالیبره نمودن و ارزیابی مدل‌های ساده‌تر مورد استفاده قرار می‌گیرد (Clemmens, 1985; Walker, 1998; Walker and Gichuki, 1985; 2009; Bautista and Wallender, 1992).

مدل اینرسی صفر (ZI)

این مدل اولین بار توسط Strelkoff and Katopodes (1977) مطرح شد. از آنجایی که در سرعت‌های خیلی پایین که معمولاً در آبیاری سطحی وجود دارد، تغییرات سرعت کم است، لذا در معادله اندازه حرکت، تأثیر جملات اینرسی در مقایسه با تأثیر بقیه پارامترها ناچیز در نظر گرفته شده و می‌توان از آن‌ها صرف نظر نمود. تحت چنین فرضی معادله شماره (۲) به صورت زیر خلاصه می‌شود (Strelkoff and Katopodes, 1977).

$$\frac{\delta y}{\delta x} = S_0 - S_f \quad (4)$$

مدل موج سینماتیک (KW)

اگر شیب مزرعه به اندازه کافی تند باشد، گرادیان عمق جریان و پارامترهای جبری معادله مومنت در مقایسه با شیب‌های پایین قابل چشم‌پوشی می‌باشد (ملک‌پور، ۱۳۷۴ و ۲۰۰۹). بنابراین معادله (۲) با در نظر گرفتن به صورت رابطه (۵) تغییر می‌یابد.

مواد و روش‌ها

داده‌های پژوهش

در این تحقیق از داده‌های آزمایشات مزرعه‌ای سه ایستگاه تحقیقاتی شامل مراکز تحقیقات کشاورزی صفتی آباد دزفول (F_1), توتون ارومیه (F_2) و گلمکان مشهد (F_3) استفاده شد (عباسی و همکاران، ۱۳۷۸). جدول (۱) مشخصات فیزیکی خاک مزارع مورد مطالعه را نشان می‌دهد. نتایج مطالعات شیمیایی خاک نشان می‌دهد که از نظر شیمیایی خاک مزارع مورد مطالعه فاقد هر گونه مشکل زراعی می‌باشد. مشخصات هندسی و هیدرولیکی شیارهای مورد آزمایش در مناطق مورد مطالعه در جداول (۲) و (۳) ارائه شد.

جدول ۱- مشخصات فیزیکی خاک مزارع آزمایشی

مزرعه	عمق خاک (cm)	بافت خاک	وزن مخصوص ظاهری (g.cm ⁻³)	ظرفیت زراعی (درصد وزنی)	وزن مخصوص ظاهری (درصد وزنی)
F ₁	۰-۲۰	لوم رسی سیلتی	۱/۶۷	۲۳/۷۵	۱۲/۸
	۲۰-۴۰	لوم رسی سیلتی	۱/۵۹	۲۴/۵۰	۱۳
	۴۰-۶۰	لوم رسی سیلتی	۱/۶۷	۲۴/۶۵	۱۴
F ₂	۰-۲۵	لومی رسی	۱/۳	۲۲/۷	۱۳/۵
	۲۵-۵۰	لومی رسی	۱/۶	۲۱/۷	۱۴/۷
	۵۰-۷۵	لومی رسی	۱/۵	۱۹/۷	۱۳/۳
F ₃	۰-۲۰	لومی	۱/۵۳	۱۲/۱۴	۵/۳۵
	۲۰-۴۰	لومی ماسه‌ی	۱/۶۱	۱۱/۶	۴/۵
	۴۰-۶۰	لومی ماسه‌ی	۱/۶	۱۱/۹۲	۴/۸

جدول ۲- مشخصات هندسی شیارهای مورد آزمایش

مزرعه	فاصله (m)	طول (m)	شیب (m/m)
F ₁	۰/۷۵	۲۰۰	۰/۰۰۶۴
F ₂	۰/۷	۱۸۰	۰/۰۱۶۳
F ₃	۰/۷	۱۰۰	۰/۰۱۱۷

جدول ۳- مشخصات هیدرولیکی شیارهای مورد آزمایش

پارامترها	مزارع آزمایشی	F3	F2	F1
(lps) جریان ورودی		۰/۶۹	۰/۵۴۵	۰/۸۵
a		۰/۳۱۱	۰/۲۱۱	۰/۵۰۷
K(m ² /min ^{-a})		۰/۰۰۳۸	۰/۰۰۳۶	۰/۰۰۱۸
f ₀ (m ³ /min/m)		۰/۰۰۰۲۹	۰/۰۰۰۹۳	۰/۰۰۰۹
ضریب مانینگ n		۰/۰۴	۰/۰۳	۰/۰۴
زمان قطع جریان (دقیقه)		۱۲۷	۱۸۰	۲۷۰

به کار رفته در معادله (۶) می‌باشد. مقدار λ نزدیک به یک و E_r نزدیک به صفر نشان دهنده یک برآورده خوب توسط مدل‌ها می‌باشد. همچنین برای ارزیابی عملکرد مدل‌های مختلف از ضرایب آماری R^2 , EF و RMSE استفاده شد. آماره ضریب تبیین (R^2) شاخصی است که میزان خطی بودن رابطه بین مقادیر مشاهده شده و محاسبه شده را نشان می‌دهد. هر چه مقدار این شاخص به یک نزدیک‌تر باشد، رابطه خطی مورد نظر مشهودتر است. (RMSE) مقدار نزدیک‌تر باشد، رابطه خطی همواره مشبّت بوده و بهترین حالت آماره ریشه میانگین مربیات خطای همواره مشبّت بوده و بهترین حالت زمانی است که مقدار آن به صفر نزدیک شود. مقدار (EF) نشان دهنده صحبت برآش داده‌ها می‌باشد و از مقدار منفی بی‌نهایت در بدترین حالت، تا یک در زمان برآش کامل داده‌ها تغییر می‌کند. بیان ریاضی سه شاخص فوق به صورت زیر است.

ارزیابی مدل‌ها

به منظور ارزیابی و بررسی دقیقت مدل‌ها از روابط رگرسیونی و خطای بین مقادیر مشاهده‌ای و برآورده شده توسط مدل‌ها استفاده شد (Esfandiari and Maheshwari, 2001).

$$X_p = \lambda X_0 \quad (6)$$

که در آن X_p مقادیر پیش‌بینی شده توسط مدل‌ها و X_0 مقادیر مشاهده شده در مزرعه می‌باشد. در این معادله مقادیر $\lambda < 1$ نشان دهنده پیش‌بینی کمتر از مقدار واقعی و $\lambda > 1$ نشان دهنده پیش‌بینی بیشتر از مقدار واقعی می‌باشد. درصد متوسط خطای پیش‌بینی مدل از رابطه زیر به دست می‌آید (McClumont et al, 1996).

$$E_r = |1 - \lambda| \times 100 \quad (7)$$

شاخص فوق، نشان دهنده روند کلی مقدار خطای در اکثر داده‌های

علامت مثبت نشان دهنده عکس این موضوع می‌باشد.

نتایج و بحث

مراحل پیشروی و پسروی

با استفاده از داده‌های مزرعه‌ای، مدل‌های مختلف در نرم‌افزار SIRMOD اجرا و نتایج در شکل (۱) نشان داده شد. ملاحظه می‌شود که در هر سه ایستگاه، منحنی‌های پیشروی به خوبی توسط مدل‌های هیدرولیکی پیش‌بینی شد. جدول (۴) شاخص‌های ارزیابی در مرحله پیشروی جریان توسط هر یک از مدل‌ها را نشان می‌دهد. مطابق این جدول متوسط مقادیر λ برای مزارع F_1 و F_2 به ترتیب $0/09944$ و $0/09647$ بدست آمد. بعارتی دیگر این پارامتر نشان می‌دهد که تمامی مدل‌های هیدرولیکی در حالت پیشروی در بافت خاک متوسط و سنگین مقادیر کمتری را نسبت به مقدار مشاهده شده پیش‌بینی می‌کنند. این در حالی است که مقدار متوسط λ در مزرعه F_3 با بافت خاک سبک $1/0890$ می‌باشد که نشان دهنده پیش‌بینی بیش‌تر زمان پیشروی نسبت به مقادیر مشاهده شده در هر سه مدل می‌باشد. همچنین در خاک با بافت سبک به علت میزان نفوذ بیش‌تر در طول شیار، درصد خطای پیش‌بینی (Er) در مدل‌های هیدرولیکی بیش‌تر می‌باشد. به طوری که میزان متوسط این خطأ در حالت پیشروی در شیارهای F_1 و F_2 به ترتیب $2/04$ و $3/53$ درصد بوده درحالی که متوسط مقدار این شاخص در شیار F_3 $8/91$ درصد است. مقایسه شاخص‌های R^2 و RMSE نشان می‌دهد که پیش‌بینی زمان پیشروی در شیار F_3 از دقت کمتری برخوردار می‌باشد به گونه‌ای که متوسط این شاخص‌ها به ترتیب $0/9775$ ، $3/8078$ و $0/9711$ به دست آمد. علت پیش‌بینی کم مدل‌ها در این مزرعه (F_3) را می‌توان به دور شدن از فرضیات اولیه معادلات سنت-ونانت ارتباط داد، زیرا در این حالت به دلیل پایین بودن شدت جریان ورودی به شیار و بالا بودن ضریب زبری شیار، نفوذ بیش‌تر شده و این عوامل باعث کندی پیشروی جریان می‌شود.

با ارزیابی مقادیر آماری در هر سه شیار می‌توان بیان نمود که تمامی مدل‌های هیدرولیکی جهت پیش‌بینی فرآیند پیشروی جریان در طول شیار مناسب می‌باشند، اما مدل هیدرودینامیک کامل عملکرد بهتری نسبت به دو مدل دیگر ارائه می‌دهد به طوری که در هر سه شیار با شرایط متفاوت، بالاترین ضریب تبیین و ضریب کارایی و کمترین ضریب RMSE به این مدل اختصاص دارد. این مطلب با نتایج (Ebrahimian and Liaghate, 2011; Esfandiari and Maheshwari, 2001; McClymont et al, 1996 همکاران، ۱۳۸۴) مطابقت دارد.

جدول (۵) مقادیر پارامترهای ارزیابی مدل‌های هیدرولیکی مختلف در مرحله پسروی جریان را نشان می‌دهد. مطابق این جدول

$$R^2 = \frac{\left[\sum_{i=1}^n (X_o - \bar{X}_o)(X_p - \bar{X}_p) \right]^2}{\sum_{i=1}^n (X_o - \bar{X}_o)^2 \sum_{i=1}^n (X_p - \bar{X}_p)^2} \quad (8)$$

$$RMSE = \sqrt{\frac{\sum_{i=1}^n (X_p - X_o)^2}{n}} \quad (9)$$

$$EF = 1 - \frac{\sum_{i=1}^n (X_p - X_o)^2}{\sum_{i=1}^n (X_o - \bar{X}_o)^2} \quad (10)$$

آنالیز حساسیت مدل

حساسیت یک مدل به یک پارامتر ورودی عبارتند از نسبت تغییر در پارامتر خروجی مدل به ازاء تغییر در پارامتر مذکور در حالتی که سایر پارامترها ثابت نگه داشته شوند (Bautista et al, 2002). پارامترهای ورودی مهم در آبیاری شیاری عبارتند از زمان قطع جریان، دبی ورودی، ضرایب معادله نفوذ، ضریب زبری مانیگ و شبیه مزرعه که اندازه‌گیری یا تخمين این پارامترها در مزرعه ممکن است با خطاهای معنی‌داری همراه باشد. لذا این پارامترها در تجزیه و تحلیل حاضر وارد شد تا تأثیر نسبی هر کدام بر شاخص‌های خروجی شامل راندمان کاربرد، راندمان نیاز آبی، ضریب یکنواختی توزیع و نسبت رواناب به صورت کمی تعیین شود. در تحلیل حساسیت هر پارامتر ورودی، مقدار تغییر معادل ± 50 و ± 25 درصد در نظر گرفته شد تا شرایط لازم تحلیل حساسیت را فراهم آورده و حداکثر محدوده ممکن خطاهای را در پارامترهای ورودی پوشش داده باشد. خروجی‌های مدل در وضعیت اولیه (بدون تغییر داده‌ها)، به عنوان خروجی مبدأ در نظر گرفته شد. با تغییر هر یک از پارامترهای ورودی و ثابت نگه داشتن سایر پارامترها، تأثیر آن بر روی پارامتر شاخص‌ها ارزیابی شد.

برای کمی سازی میزان حساسیت هر پارامتر ورودی، از رابطه

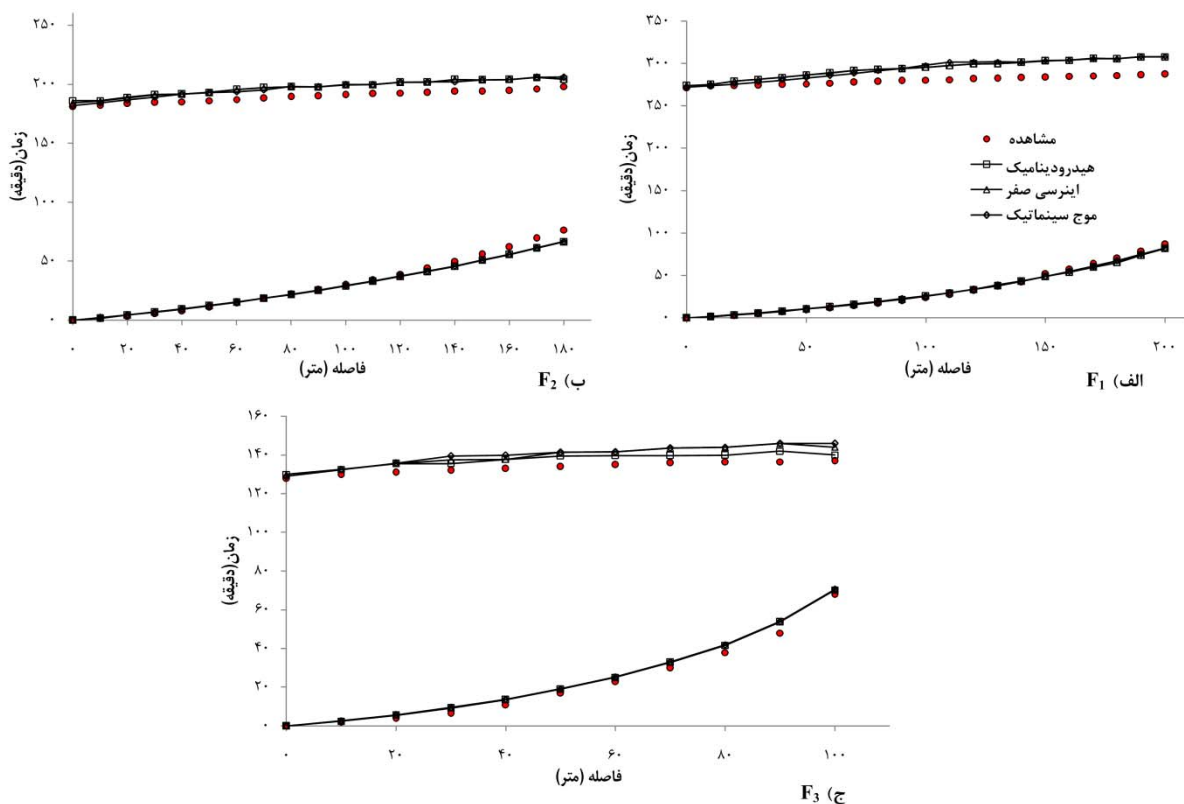
(11) استفاده شد (Ng and Loomis, 1984).

$$S = \frac{100}{N} \sum_{i=1}^N \frac{(X_{ni} - X_{ci})}{X_{ci}} \Delta \quad (11)$$

N: تعداد نقاط برای یک پارامتر خروجی، X_{ni} : مقدار جدید پارامتر خروجی در نقطه i ام به ازاء تغییر در پارامتر ورودی، X_{ci} : مقدار پارامتر خروجی در نقطه i ام در حالت اجرای کنترل شبیه‌سازی، بدون تغییر در پارامتر ورودی و Δ : مقدار مطلق تغییر در پارامتر ورودی. علامت منفی پارامتر شاخص حساسیت نشان می‌دهد که مقدار آن پارامتر در آنالیز حساسیت نسبت به حالت اولیه کمتر شده است و

به منظور مقایسه مقادیر مشاهده‌ای و نتایج پیش‌بینی شده توسط هر یک از مدل‌ها در مراحل پیشروی و پسروی، از آزمون t- استیوونست استفاده شد (جدول ۶). ملاحظه می‌شود که در مرحله پیشروی تمامی مدل‌ها در بافت‌های مختلف خاک اختلاف معنی‌داری با مقادیر مشاهده شده ندارند، این در حالی است که در مرحله پسروی جوابان، در شیار اول هیچ تفاوت معنی‌داری مشاهده نشد ولی در دو شیار دیگر، تفاوت بسیار معنادار می‌باشد. اختلاف در پیش‌بینی این سه مدل جوابان را می‌توان مرتبط به معادلات به کار رفته و روش حل آن‌ها دانست.

زمان پسروی در تمامی مدل‌ها، بیشتر از مقدار اندازه‌گیری شده پیش‌بینی شد. شاخص‌های ارزیابی نشان می‌دهند که هر سه مدل هیدرولیکی زمان پسروی را با دقت پایین‌تری نسبت به مرحله پیشروی پیش‌بینی نموده‌اند. متوسط خطای مدل هیدرودینامیک کامل در این مرحله از جریان نسبت به مرحله پیشروی بیشتر می‌باشد. به نظر می‌رسد که خطای اندازه‌گیری داده‌های صحرازی، خطای نتایج مدل‌ها در نرم‌افزار SIRMOD و یا عدم یکنواختی شبی طولی مزرعه دلایل مختلفی برای عدم تطابق مدل‌های هیدرولیکی با مقادیر مشاهده شده در این مرحله می‌باشد.



شکل ۱- منحنی پیشروی و پسروی مشاهده شده و برآورد شده توسط مدل‌ها

جدول ۴- شاخص‌های ارزیابی مدل‌ها در مرحله پیشروی

مزرعه	مدل	N	λ	Ei(%)	R^2	RMSE(min)	EF
HD		21	-0.9853	1/47	0.9986	0.8257	0/9936
ZI	F ₁	21	-0.9757	2/43	0.9984	1/0.919	0/9888
KW		21	-0.9223	2/23	0.9984	1/0.928	0/9887
HD		18	-0.9652	3/48	0.9985	2/8287	0/9790
ZI	F ₂	18	-0.9648	3/52	0.9985	2/8325	0/9789
KW		18	-0.9641	3/59	0.9981	2/9957	0/9765
HD		11	-0.8116	8/16	0.9978	3/7078	0/9726
ZI	F ₃	11	-0.820	8/21	0.9975	3/8562	0/9704
KW		11	-0.835	10/35	0.9971	3/8595	0/9704

جدول ۵- شاخص‌های ارزیابی مدل‌ها در مرحله پسروی

مزرعه	مدل	N	λ	R ²	Er(%)	RMSE(min)	EF
HD		۲۱	۰/۰۴۷۲	۰/۹۸۹۹	۴/۷۲	۴/۶۹۰۹	-۱/۴۳۴۳
ZI	F ₁	۲۱	۰/۰۴۹۱	۰/۹۸۸۶	۴/۹۱	۴/۶۹۱۳	-۱/۴۳۶۲
KW		۲۱	۰/۰۴۹۷	۰/۹۸۰۱	۴/۹۷	۴/۷۱۷۴	-۱/۵۶۳۸
HD		۱۸	۰/۰۳۸۵	۰/۹۸۰۲	۳/۸۵	۷/۴۳۷۶	-۱/۸۶۱۶
ZI	F ₂	۱۸	۰/۰۴۰۶	۰/۹۷۸۱	۴/۰۶	۷/۷۴۳۷	-۲/۱۰۱۹
KW		۱۸	۰/۰۴۱۳	۰/۹۷۵۱	۴/۱۳	۷/۷۴۳۷	-۲/۲۲۲۹
HD		۱۱	۰/۰۲۹۴	۰/۹۸۵۴	۲/۹۴	۰/۶۸۸۲	-۱/۰۳۴۶
ZI	F ₃	۱۱	۰/۰۴۳۸	۰/۹۷۸۵	۴/۳۸	۰/۹۷۲۸	-۳/۸۰۳۶
KW		۱۱	۰/۰۴۷۵	۰/۹۵۸۳	۴/۷۵	۲/۰۶۴۸	-۴/۷۴۷

جدول ۶- نتایج آزمون مقایسه t- استیوونت

مزرعه	درجه آزادی	t	مزرعه	درجه آزادی	t	مزرعه
مشاهده- هیدرودینامیک	۲۰	n.s ۴/۷۸	مشاهده- هیدرودینامیک	۲۰	n.s ۱/۱۴۱	مشاهده- هیدرودینامیک
مشاهده- اینرسی صفر	۲۰	n.s ۵/۳۶	مشاهده- اینرسی صفر	۲۰	n.s ۱/۱۸۲	مشاهده- اینرسی صفر
مشاهده- موج سینماتیک	۲۰	n.s ۵/۶۱	مشاهده- موج سینماتیک	۲۰	n.s ۱/۱۸۸	مشاهده- موج سینماتیک
مشاهده- هیدرودینامیک	۱۷	** ۱۴/۱۱	مشاهده- هیدرودینامیک	۱۷	n.s ۱/۲۲۱	مشاهده- هیدرودینامیک
مشاهده- اینرسی صفر	۱۷	** ۱۵/۷۴	مشاهده- اینرسی صفر	۱۷	n.s ۱/۲۸۶	مشاهده- اینرسی صفر
مشاهده- موج سینماتیک	۱۷	** ۱۵/۸۶	مشاهده- موج سینماتیک	۱۷	n.s ۱/۲۹۳	مشاهده- موج سینماتیک
مشاهده- هیدرودینامیک	۱۰	n.s ۸/۶۵	مشاهده- هیدرودینامیک	۱۰	n.s ۲/۰۱۴	مشاهده- هیدرودینامیک
مشاهده- اینرسی صفر	۱۰	** ۹/۷۱	مشاهده- اینرسی صفر	۱۰	n.s ۲/۱۵۵	مشاهده- اینرسی صفر
مشاهده- موج سینماتیک	۱۰	** ۹/۹۲	مشاهده- موج سینماتیک	۱۰	n.s ۲/۱۶۸	مشاهده- موج سینماتیک

n.s: اختلاف غیر معنی دار ***: اختلاف بسیار معنی دار در سطح یک درصد

بیلان آب

نفوذ

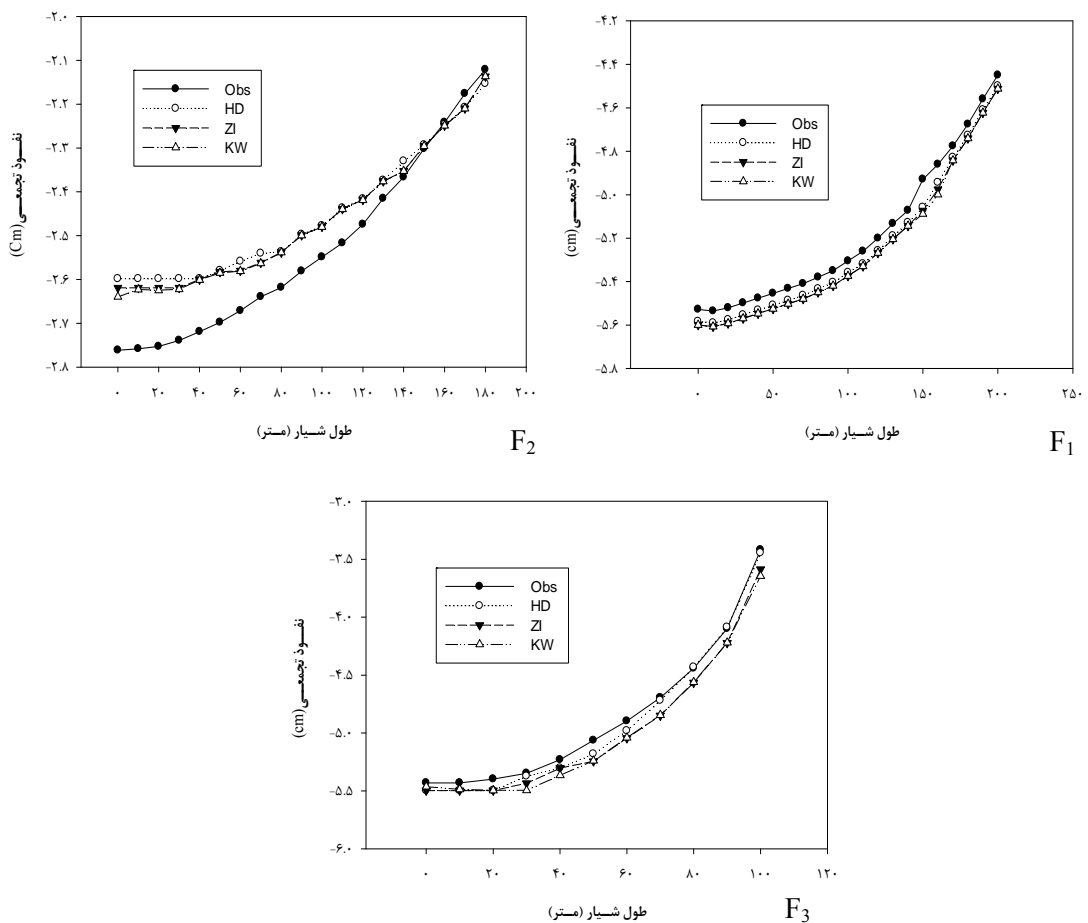
جدول (۸) مقدار حجمی آب نفوذ یافته و رواناب خروجی اندازه- گیری و پیش‌بینی شده توسط مدل‌های هیدرولیکی در شکل (۲) و شاخص‌های ارزیابی مدل‌ها در جدول (۷) نشان داده شد. مطابق این جدول مقادیر متوسط شاخص RMSE، R² و EF در شیار F₁ که دارای خاکی با یافت متوسط می‌باشد، به ترتیب برابر ۰/۹۹۸۳، ۰/۰۰۰۷ و ۰/۹۶۳۳ می‌باشد. بنابراین می‌توان بیان نمود که مقادیر نفوذ محاسبه شده در این شیار از دقت مناسبی برخوردار است. مقادیر نفوذ پیش‌بینی شده در دو شیار F₂ و F₃ که دارای خاک‌های با یافت سنگین و سبک می‌باشند، به ترتیب کمتر و بیش‌تر از مقادیر اندازه- گیری شده می‌باشد. در تمامی مدل‌ها مقادیر متوسط خطای نفوذ در این دو شیار بیش‌تر از شیار اول می‌باشد. به نظر می‌رسد این تفاوت‌ها به مشخصات فیزیکی خاک مزرعه مرتبط می‌باشد. با در نظر گرفتن شاخص‌های ارزیابی می‌توان بیان نمود که هر سه مدل هیدرولیکی با اختلاف اندکی مقادیر نفوذ را پیش‌بینی می‌کنند. این نتیجه می‌تواند به علت مقادیر نفوذ کم جریان در آبیاری سطحی به خصوص آبیاری شیاری باشد (McClmont et al., 1996).

تحلیل حساسیت مدل‌های هیدرولیکی
حساسیت مدل‌ها به ازاء تغییرات ± ۵۰ و ± ۲۵ درصد پارامترهای ورودی و تأثیر آن بر روی شاخص‌های خروجی شامل راندمان کاربرد، راندمان نیاز آبی، یکنواختی توزیع و نسبت رواناب بررسی شد. با توجه به نتایج بخش‌های قبلی، شیار F₁ بدلیل دقت مناسب داده‌ها و مدل هیدرودینامیک کامل به دلیل پیش‌بینی دقیق‌تر، به منظور تحلیل و آنالیز حساسیت مدل رایانه‌ای انتخاب شدند. پارامترهای ورودی شیار

مقادیر نفوذ تجمعی اندازه- گیری و پیش‌بینی شده توسط مدل‌های هیدرولیکی در شکل (۲) و شاخص‌های ارزیابی مدل‌ها در جدول (۷) نشان داده شد. مطابق این جدول مقادیر متوسط شاخص RMSE، R² و EF در شیار F₁ که دارای خاکی با یافت متوسط می‌باشد، به ترتیب برابر ۰/۹۹۸۳، ۰/۰۰۰۷ و ۰/۹۶۳۳ می‌باشد. بنابراین می‌توان بیان نمود که مقادیر نفوذ محاسبه شده در این شیار از دقت مناسبی برخوردار است. مقادیر نفوذ پیش‌بینی شده در دو شیار F₂ و F₃ که دارای خاک‌های با یافت سنگین و سبک می‌باشند، به ترتیب کمتر و بیش‌تر از مقادیر اندازه- گیری شده می‌باشد. در تمامی مدل‌ها مقادیر متوسط خطای نفوذ در این دو شیار بیش‌تر از شیار اول می‌باشد. به نظر می‌رسد این تفاوت‌ها به مشخصات فیزیکی خاک مزرعه مرتبط می‌باشد. با در نظر گرفتن شاخص‌های ارزیابی می‌توان بیان نمود که هر سه مدل هیدرولیکی با اختلاف اندکی مقادیر نفوذ را پیش‌بینی می‌کنند. این نتیجه می‌تواند به علت مقادیر نفوذ کم جریان در آبیاری سطحی به خصوص آبیاری شیاری باشد (McClmont et al., 1996).

و نتایج در شکل (۳) نشان داده شد.

شامل دبی، زمان قطع جریان، شبی، ضریب زبری مانینگ و پارامترهای نفوذ خاک شامل (a , k , f_0) انتخاب و تغییرات لازم انجام



شکل ۲- منحنی نفوذ تجمعی مشاهده شده و برآورد شده

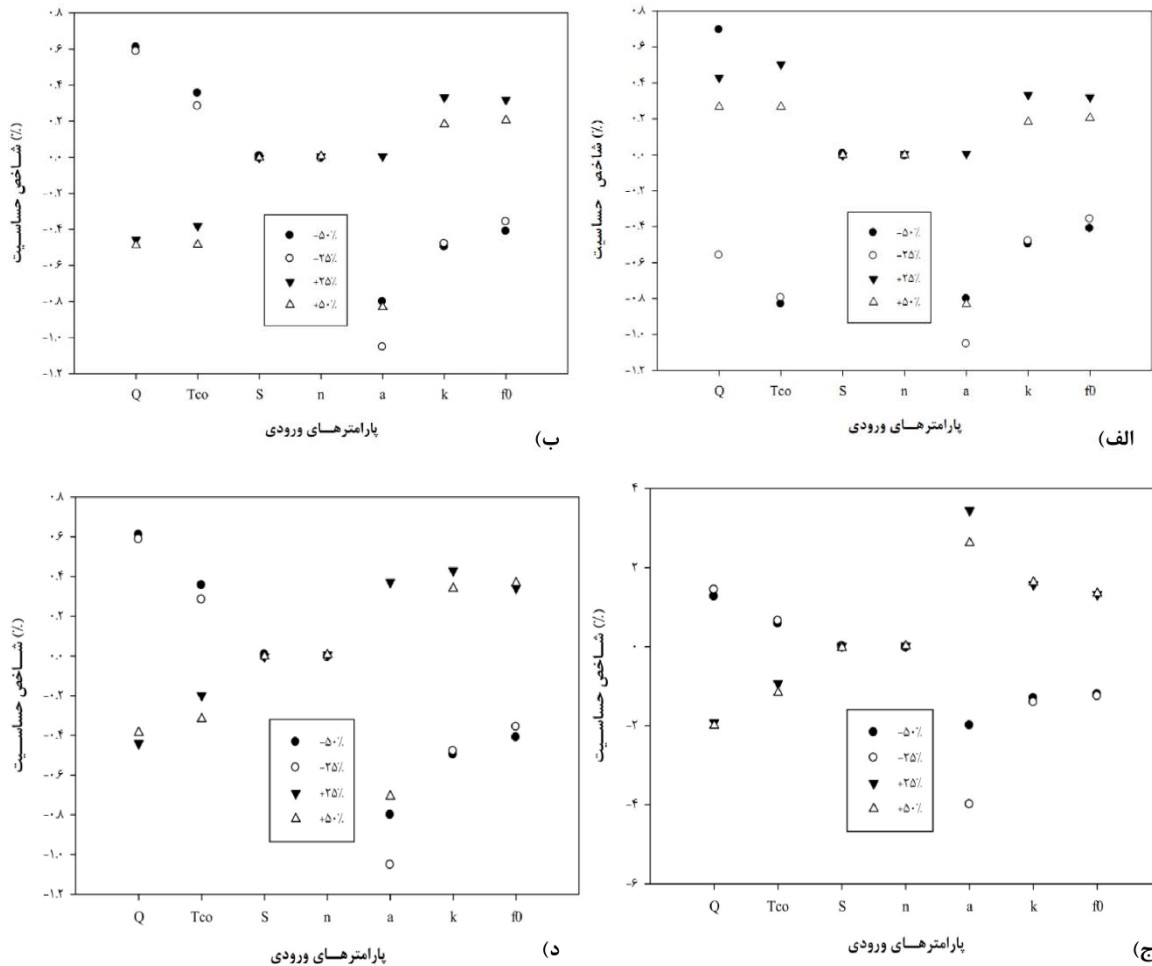
جدول ۷- شاخص‌های ارزیابی نفوذ تجمعی در مدل‌های مختلف

EF	RMSE(cm)	R^2	Er(%)	λ	مدل	مزرعه
.۰/۹۸۸۹	.۰/۰۰۰۶	.۰/۹۹۸۷	۱/۸۳	۱/۰۱۸۳	HD	
.۰/۹۵۰۵	.۰/۰۰۰۷	.۰/۹۸۸۲	۱/۱۸	۱/۰۱۱۸	ZI	F ₁
.۰/۹۵۰۵	.۰/۰۰۰۷	.۰/۹۹۷۹	۱/۴۷	۱/۰۱۴۷	KW	
.۰/۸۸۲۲	.۰/۰۰۰۸	.۰/۹۸۸۱	۲/۴۸	۰/۹۷۵۲	HD	
.۰/۷۶۷۹	.۰/۰۰۰۹	.۰/۹۸۷۷	۲/۵۶	۰/۹۷۴۴	ZI	F ₂
.۰/۷۲۸۱	.۰/۰۰۰۹	.۰/۹۸۷۵	۲/۸۶	۰/۹۷۱۴	KW	
.۰/۸۶۷۲	.۰/۰۰۰۵	.۰/۹۹۸۱	۱/۹۹	۱/۰۱۹۹	HD	
.۰/۷۷۱۳	.۰/۰۰۱۴	.۰/۹۹۶۰	۲/۵۵	۱/۰۲۵۵	ZI	F ₃
.۰/۷۴۷۸	.۰/۰۰۱۴	.۰/۹۹۴۷	۲/۷۹	۱/۰۲۷۹	KW	

جدول ۸- مقایسه مدل‌های دربرآورد حجم رواناب و آب نفوذ یافته (مترمکعب)

موج سینماتیک یافته	حجم رواناب	اینرسی صفر			هیدرودینامیک			مقدار اندازه گیری شده			مزرعه
		حجم یافته	حجم رواناب	حجم یافته	حجم رواناب	حجم یافته	حجم رواناب	حجم یافته	حجم رواناب	حجم یافته	
۹/۵	۴/۲	۹/۵	۴/۲	۹/۶	۴/۱	-	*	-	۱۳/۷	F ₁	
۳/۸	۲/۱	۳/۸	۲/۱	۴	۱/۹	۴/۲۴	۱/۶۵	۵/۸۹	۵/۸۹	F ₂	
۴/۷	۰/۵	۴/۷	۰/۵	۴/۷	۰/۵	۴/۵۹	۰/۶۷	۵/۲۶	۵/۲۶	F ₃	

* اندازه گیری نشده



شکل ۳- شاخص حساسیت پارامتر ورودی برای (الف) راندمان کاربرد (ب) راندمان نیاز آبی (ج) یکنواختی توزیع (د) نسبت رواناب پایاب

جدول ۹- حساسیت مدل به پارامترهای ورودی

راندمان	همیت پارامترهای ورودی مدل
راندمان کاربرد	دبی- زمان قطع جریان- a-f ₀ -k- ضریب مانینگ- شبیب
راندمان نیاز آبی	دبی- زمان قطع جریان- a-f ₀ -k- ضریب مانینگ- شبیب
ضریب یکنواختی توزیع	دبی- زمان قطع جریان- شبیب- ضریب مانینگ
نسبت رواناب پایاب	دبی- f ₀ - زمان قطع جریان- شبیب- ضریب مانینگ

که تمامی مدل‌ها بیلان حجم آب در شیار را با دقت پایینی پیش‌بینی می‌کنند. تحلیل حساسیت مدل‌ها نشان داد که مقادیر دبی ورودی، زمان قطع جریان و ضرایب معادله نفوذ بیشترین تأثیرگذاری را بر شاخص‌های مدل‌ها دارند. بنابراین برای دستیابی به نتایج قابل اطمینان و افزایش دقت مدل‌ها، لازم است پارامترهای ورودی فوق با دقت بالاتری اندازه‌گیری شوند.

منابع

بهبهانی، م و بابازاده، ح. ۱۳۸۴. ارزیابی مدل آبیاری سطحی SIRMOD (مطالعه موردنیاز آبیاری شیاری). علوم کشاورزی و منابع طبیعی. ۱۲(۲): ۱۰-۱.

بهرامی، م، برومندنسپس و ناصری، ع. ۱۳۸۸. مقایسه مدل هیدرولوژیکی ماسکینگام - کوتز با مدل‌های هیدرولیکی آبیاری در برآورد مرحله پیش‌روی آبیاری جویچه‌ای. آبیاری و زهکشی ایران. ۴۰(۲): ۴۹-۴۰.

عباسی، ف، جلینی، م، معیری، م و طائفه‌رضایی، ح. ۱۳۷۸. تهیه یک مدل ریاضی برای طراحی و ارزیابی روش‌های آبیاری سطحی. گزارش پژوهشی. سازمان تحقیقات، آموزش و ترویج کشاورزی.

مصطفی‌الدین، محمودیان شوستری، م. ۱۳۷۹. هیدرولیک آبیاری سطحی، جزو درسی دکتری، گروه مهندسی آبیاری و زهکشی، دانشکده کشاورزی، دانشگاه تهران.

ملک‌پور، ا. ۱۳۷۴. مدل ریاضی حرکت آب در فارو. گزارش پژوهشی. سازمان تحقیقات، آموزش و ترویج کشاورزی.

Abbasi,F., Shooshtari,M.M., Feyen,J. 2003. Evaluation of various surface irrigation numerical simulation models. Journal of Irrigation and Drainage Engineering, 129(3), 208–213.

Bautista,E., Wallender,W.W. 1992. Hydrodynamic furrow irrigation model with specified space steps. Journal of Irrigation and Drainage Engineering, 118(3), 450–465.

Bautista,E., Strelkoff,T.S., Clemmens,A.J. 2002. Sensitivity of surface irrigation to infiltration parameters: implications for management. In: Burt, C.M., Anderson, S.S. (Eds.), Energy, Climate, Environment and Water-Issues and Opportunities for Irrigation and Drainage. Proc. USCID/EWRI Conf.,

مطابق جدول (۹)، جریان ورودی به شیار، دارای بیشترین تأثیر بر راندمان‌های کاربرد (E_a) و نیاز آبی (E_r) گذاشته است به طوریکه در صورت بروز ۵۰ درصد خطا در اندازه گیری دبی ورودی، بطور متوسط حدود ۳۰ درصد خطا در محاسبه راندمان‌ها به وجود خواهد آمد. زیرا تغییر در دبی ورودی تا زمانی که سایر پارامترها ثابت نگه داشته شوند، بر روی رواناب و حجم آب نفوذ یافته تأثیر مستقیم خواهد داشت. زمان قطع جریان و پارامترهای معادله نفوذ (k , f_0 و a ، در رتبه‌های بعدی تأثیرگذار در محاسبه راندمان‌ها به شمار می‌آیند. به نظر می‌رسد که این نتایج به دلیل تأثیر پارامتر زمان قطع جریان به رواناب پایاب، ضرایب معادله نفوذ و حجم آب نفوذ یافته در طول شیار باشد. در مورد ضریب یکنواختی توزیع (DU) و نسبت رواناب پایاب (TWR) بیشترین حساسیت مربوط به پارامتر معادلات نفوذ می‌باشد. چون این پارامتر بیشترین تأثیر را بر حجم آب نفوذ یافته و در نتیجه رواناب شیار خواهد داشت. بنابراین لازم است دقت بیشتری در اندازه گیری این پارامترها صورت گیرد. یافته‌ها نشان می‌دهد که تأثیر پارامترهایی نظیر شبیه جریان و ضریب زبری مانینگ بر شاخص‌های خروجی کم می‌باشد، به طوری که مقادیر شاخص حساسیت آن‌ها در هر دو حالت (افزایشی و کاهشی) مشابه هم است. در مقابل پارامترهای مانند دبی جریان، زمان قطع جریان و ضرایب معادله نفوذ که تأثیر فراوانی بر خروجی مدل دارند، باعث ایجاد اختلاف زیاد در مقادیر شاخص حساسیت در حالت افزایشی و کاهشی شده است.

نتیجه گیری

در این مطالعه سه مدل هیدرولیکی موجود در آبیاری شیاری شامل مدل‌های هیدرودینامیک کامل (HD)، اینرسی صفر (ZI) و موج سینماتیک (KW) مورد تحلیل و بررسی قرار گرفت. بدین منظور از بسته نرم‌افزاری SIRMOD و سه سری داده‌های مزرعه‌ای استفاده شد، این مزارع دارای بافت خاک F_1 (متوسط)، F_2 (سنگین) و F_3 (سبک) می‌باشند. نتایج نشان داد که هر سه مدل هیدرولیکی زمان پسروی را با دقت پایین‌تری نسبت به زمان پیش‌روی شبیه‌سازی می‌نمایند. هم‌چنین یافته‌ها نشان داد که پیش‌بینی جریان توسط مدل‌های هیدرولیکی در بافت‌های مختلف خاک، متفاوت می‌باشد، به طوری که مقادیر پیش‌بینی شده در شیارهای با بافت متوسط و سنگین در مرحله پیش‌روی کمتر از مقادیر اندازه گیری می‌باشد. در مرحله پسروی در تمامی شیارها (بافت‌ها)، مقادیر پیش‌بینی شده بیشتر از مقادیر مشاهده‌ای می‌باشد. تحقیقات نشان داد که تمامی مدل‌ها توانائی خوبی در پیش‌بینی مقدار نفوذ در طول شیار با بافت خاک متوسط را دارا می‌باشند ولی در شیارهای با بافت‌های سنگین و سبک از دقت پیش‌بینی کاسته می‌شود. هم‌چنین نتایج بیانگر آن است

- McClymont,D.J., Raine,S.R., Smith,R.J. 1996. The prediction of furrow irrigation performance using the surface irrigation model SIRMOD. In 13th National Conference. Irrigation Association of Australia. Adelaide.
- Ng,N., Loomis,R.S. 1984. Simulation of growth and yield of the potato crop.
- Strelkoff,T., Katopodes,N.D. 1977. Border-irrigation hydraulics with zero inertia. Journal of the Irrigation and Drainage Division, 103(3), 325–342.
- Walker,W.R. 1998. SIRMOD—Surface irrigation modeling software. Utah State University, Logan.
- Walker,W.R. 2003. SIRMOD III Surface Irrigation Simulation, Evaluation and Design. Guide and Technical Documentation. Dept of Biological and Irrigation Engineering, Utah St Univ, Logan, UT, USA.
- Walker,W.R., Gichuki,F. 1985. Documentation of surface irrigation models. Unpublished Report. Utah State University, Logan.
- Walker,W.R., Skogerboe,G.V. 1987. Surface irrigation. Theory and practice. Prentice-Hall.
- San Luis Obispo, CA, July 10–13, pp. 475–485.
- Clemmens,A.J. 2009. Errors in surface irrigation evaluation from incorrect model assumptions. Journal of Irrigation and Drainage Engineering, 135(5), 556–565.
- Ebrahimian, H., & Liaghat, A. (2011). Field evaluation of various mathematical models for furrow and border irrigation systems. Soil Water Res, 6(2), 91–101.
- Esfandiari,M., Maheshwari,B.L. 2001. SW-Soil and Water. Journal of Agricultural Engineering Research, 79(4), 459–479 .
- Koech,R.K., Gillies,M.H., Smith,R. 2010. Simulation modelling in surface irrigation systems. In Proceedings of the 2010 Southern Region Engineering Conference (SREC 2010) (pp. 1–8). Engineers Australia.
- Maheshwari,B.L., McMahon,T.A. 1993. Performance evaluation of border irrigation models for south-east Australia: Part 2, Overall suitability for field applications. Journal of Agricultural Engineering Research, 54(2), 127-139.

Field Evaluation and Sensitivity Analysis of the SIRMOD Model in Furrow Irrigation

M.A. Gholami Sefidkouhi^{1*}, A. Koulaiyan²

Received: Jan. 4, 2014 Accepted: Aug. 27, 2014

Abstract

Nowadays, Surface irrigation mathematical models are important for the evaluation and design purposes. In this study, mathematical models in the SIRMOD package including the Hydrodynamic (HD), Zero Inertia (ZI), and Kinematic wave (KW) models were evaluated and sensitized analysis. Three data series including light, medium, and heavy soil texture were used in this assessment. The results indicated that the performance of all models was satisfactory for the prediction of the advance times, but they predicted the advance times better than the recession times. The HD model predicted the advance and recession times better than the other models. The results showed that the accuracy of these models for the prediction of infiltrated and runoff volumes related to soil texture. Sensitivity analysis of the these models showed that the sensitivity of four irrigation parameters (E_a , E_r , DU, and TWR) to five variables (q_o , t_{co} , k , a , and f_o) higher than the other variables.

Key words: Surface irrigation, Sensitivity Analysis, Hydraulic models

1 - Assistant Professor, Water Engineering Department, Sari Agricultural Sciences and Natural Resources University
2 - M.S. Graduated from of Irrigation and Drainage, Sari Agricultural Sciences and Natural Resources University
(*-Corresponding Author Email: ma.gholami@sanru.ac.ir)